

# Signaler & System – Föreläsning 9: Laplacetransformanalys av LTI-system – Passiva filter

Forts. om STABILITET från förra föreläsningen (Nr. 8)

Följande tre sidor om stabilitet är de tre sista sidorna i materialet från föreläsning 8:

## Stabilitet – för energifria LTI-system

**(Externt) stabilt system:** (Insignal-utsignal-stabilt)

Varje begränsad insignal ger upphov till en begränsad utsignal

$$\Leftrightarrow \int_{-\infty}^{\infty} |h(t)| dt < \infty \quad \text{gäller för stabila LTI-system}$$

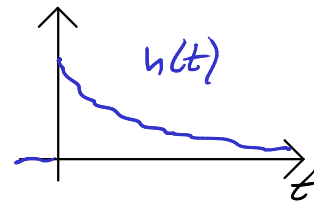
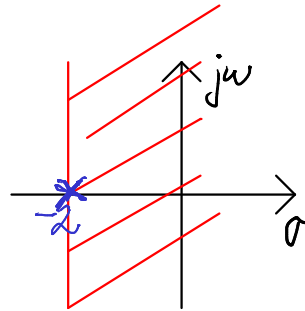
$$\Rightarrow \mathcal{F}\{h(t)\} = H(\omega) \quad \exists$$

$$\left( \mathcal{F}\{h(t)e^{-\sigma t}\} \xrightarrow{s=\sigma+j\omega} \mathcal{L}\{h(t)\} \right) \quad \sigma=0 \Rightarrow \boxed{H(\omega) = H(s)|_{s=j\omega}}$$

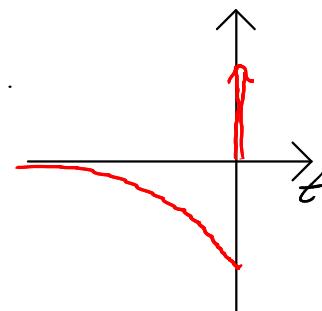
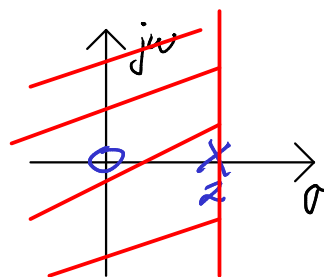
$\Leftrightarrow$   $j\omega$ -axeln ligger i systemfunktionens konvergensområde!

**Konsekvens:** Systemfunktionen till ett stabilt system har *minst lika många poler som nollställen* – annars ingår inte  $\pm j\infty$  i konvergensområdet

Exempel 1:  $H(s) = \frac{1}{s+2} \quad \text{Re}\{s\} > -2$   
 $h(t) = e^{-2t} u(t)$



Exempel 2:  $H(s) = \frac{s}{s-2} \quad \text{Re}\{s\} < 2$   
 $H(s) = \frac{s-2+2}{s-2} = 1 + 2 \cdot \frac{-1}{s-2}$   
 $h(t) = \delta(t) - 2e^{2t} u(-t)$



Exempel 3:

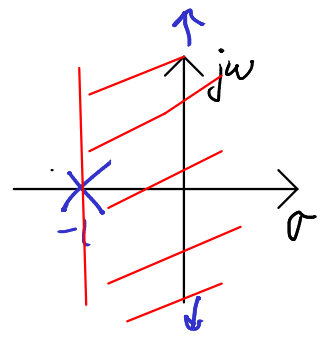
$$H(s) = \frac{s^2}{s+1} \quad \text{Konv. omr. ?}$$

$$|H(s)| \rightarrow \infty \text{ när } |s| \rightarrow \infty$$

$$\#P \geq \#N$$

$$|s| < \infty \quad H(s) = \underbrace{s}_{\text{pol}} - 1 + \frac{1}{s+1} \quad \text{Re}\{s\} > -1$$

$$s = \frac{1}{1/s}$$



## Marginellt stabilt system:

De flesta begränsade insignaler ger upphov till begränsade utsignaler

$$\Leftrightarrow \begin{cases} \int_{-\infty}^{\infty} |h(t)| dt < \infty \\ |h(t)| < \infty \quad \forall t \end{cases} \quad \text{gäller för marginellt stabila LTI-system}$$

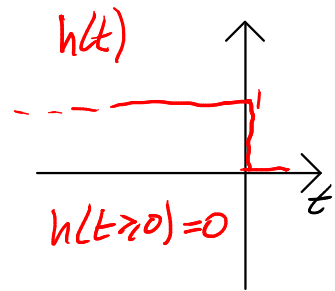
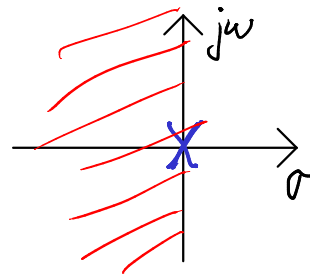
- $$\Leftrightarrow \begin{cases} \bullet H(s) \text{ har minst en enkelpol på } j\omega \text{-axeln} \\ \bullet j\omega \text{-axeln utgör en rand till konvergensområdet för } H(s) \\ \bullet H(s) \text{ har minst lika många poler som nollställen (egentligen } \#P \geq \#N - 1) \end{cases}$$

$$\Rightarrow H(\omega) = H(s) \Big|_{s=j\omega, s \neq \text{pol}}$$

Exempel 1:

$$H(s) = \frac{-1}{s} \quad \text{Re}\{s\} < 0$$

$$h(t) = u_0(-t)$$



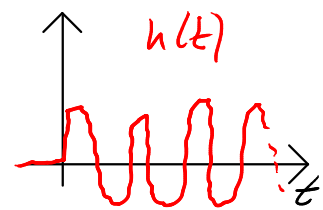
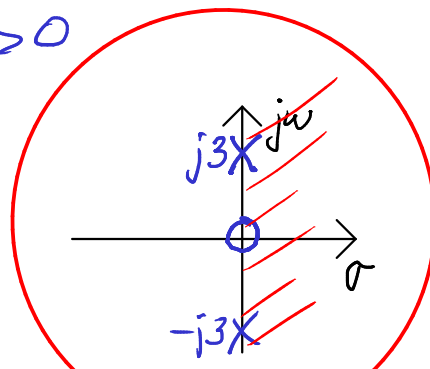
$$+ \pi \delta(\omega - \omega_0) + \pi \delta(\omega + \omega_0)$$

Exempel 2:

$$H(s) = \frac{s}{s^2+3^2} \quad \text{Re}\{s\} > 0$$

$$h(t) = \cos(3t) u(t)$$

$$H(\omega) = H(s) \Big|_{s=j\omega}, \omega \neq \pm 3$$



# Instabilt system:

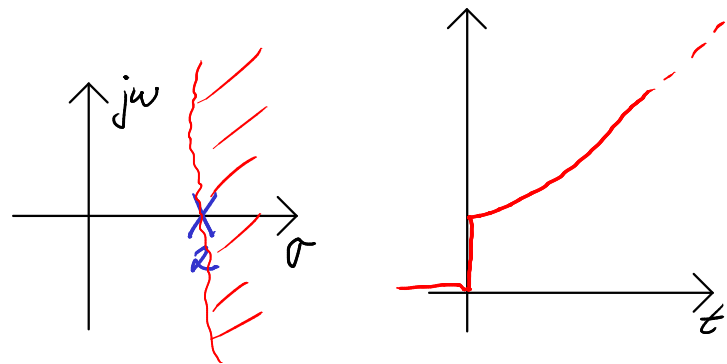
Ingen begränsad nollskild insignal kan ge upphov till en begränsad utsignal

$$\Leftrightarrow \begin{cases} \int_{-\infty}^{\infty} |h(t)| dt < \infty \\ |h(t)| < \infty \quad \forall t \end{cases} \text{ gäller för instabila LTI-system}$$

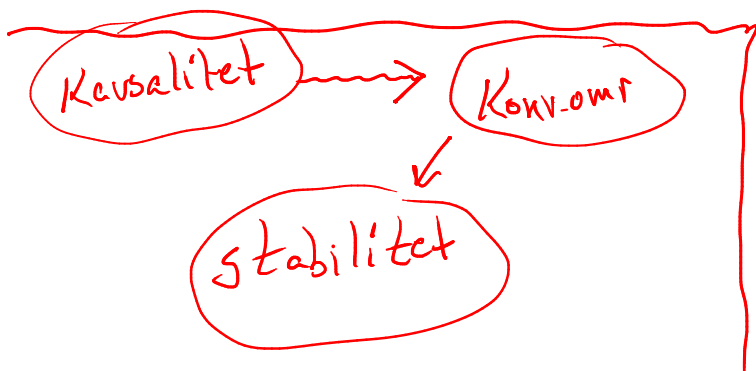
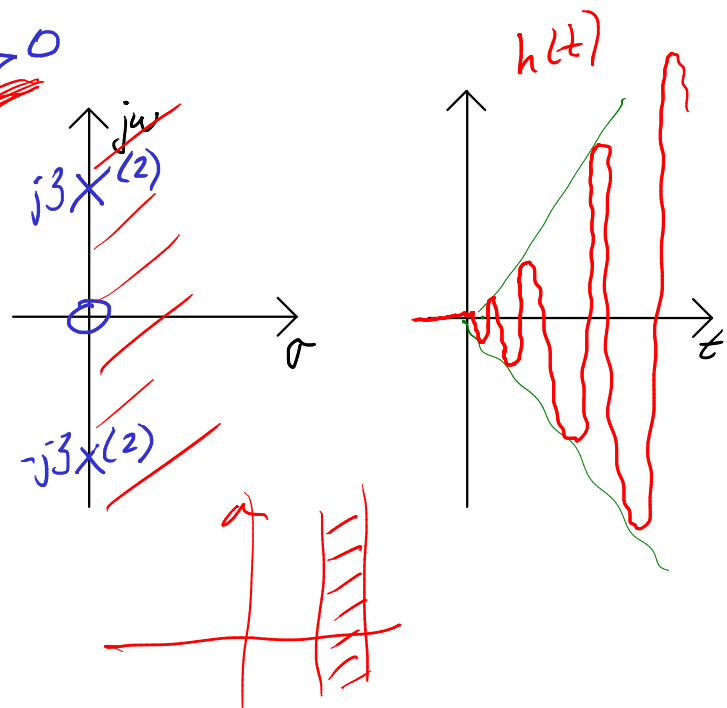
- $$\Leftrightarrow \begin{cases} \bullet j\omega\text{-axeln ligger inte i konvergensområdet för } H(s) \\ \text{eller} \\ \bullet j\omega\text{-axeln utgör en rand till konvergensområdet för } H(s) \\ \text{och } H(s) \text{ har en minst en multipelpol på } j\omega\text{-axeln} \end{cases}$$

$\Rightarrow H(\omega)$  existerar inte

Exempel 1:  $H(s) = \frac{1}{s-2} \quad \operatorname{Re}\{s\} > 2$   
 $h(t) = e^{2t} \cdot u(t)$

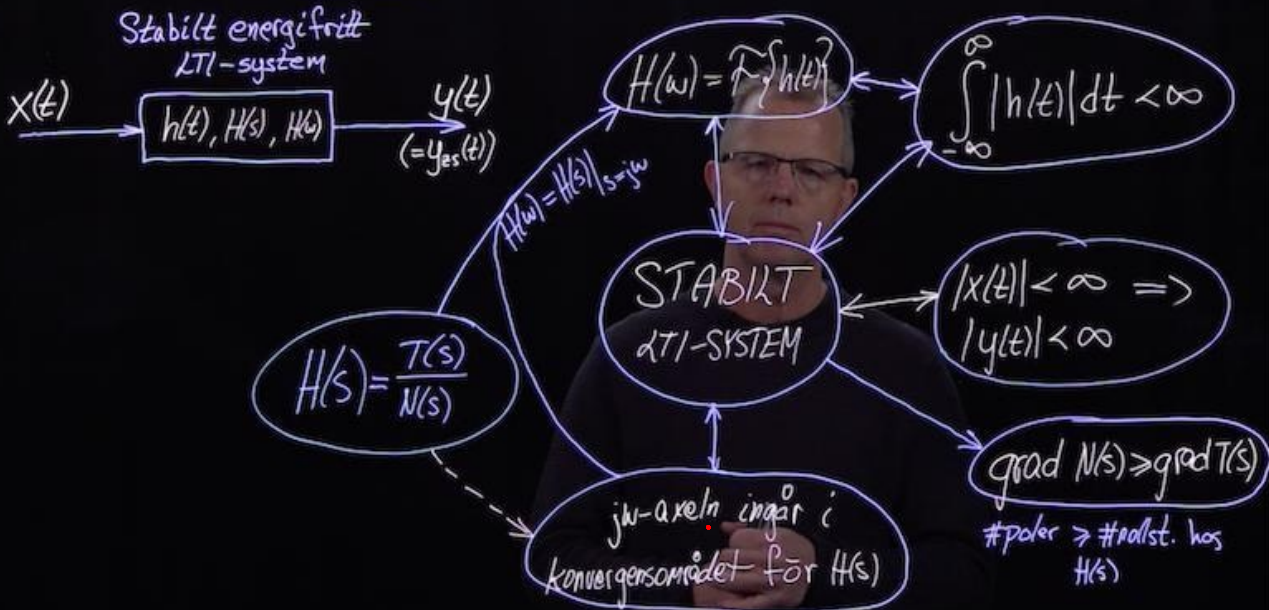


Exempel 2:  $H(s) = \frac{s}{(s^2+3^2)^2} \quad \operatorname{Re}\{s\} > 0$   
 Tab. 5:24  
 $h(t) = \frac{1}{2 \cdot 3} \cdot t \cdot \sin(3t) u(t)$



# STABILITETSRELATIONER

VIDEO 1



**Passiva Filter**

Energifritt KTI-system

$x(t) \rightarrow h(t), H(s), H(\omega) \rightarrow y(t) = y_{res}(t) = (x * h)(t)$   
 $Y(s) = Y_{res}(s) = X(s) \cdot H(s)$

Ex:  $x(t) = A e^{-at} u(t)$   
 $\Rightarrow X(s) = \frac{A}{s+a} ; \text{Re}\{s\} > -a$

$H(s) = \frac{B}{s+b} ; \text{Re}\{s\} > -b$   
 $K = B$

$Y(s) = \frac{A}{s+a} \cdot \frac{B}{s+b}$   
 $\Rightarrow y(t) = \frac{B}{\Delta p} x(t) - \frac{A}{\Delta p} h(t)$   
 $\Delta p = b - a = \text{avståndet mellan polerna}$

Systemet förstärker signalen  $x(t)$  om:  
 •  $B > 1$  ( $B \uparrow \Rightarrow \text{förstärkn.} \uparrow$ )  
 •  $\Delta p < 1$  ( $\Delta p \downarrow \Rightarrow \text{förstärkn.} \uparrow$ )

Bättre, mer korrekt: Förstärkning om  $\left| \frac{B}{\Delta p} \right| > 1$  dvs. om  $|\Delta p| < |B|$

$E_y \leq E_x$

$x(t) = e^{-90t} u(t)$

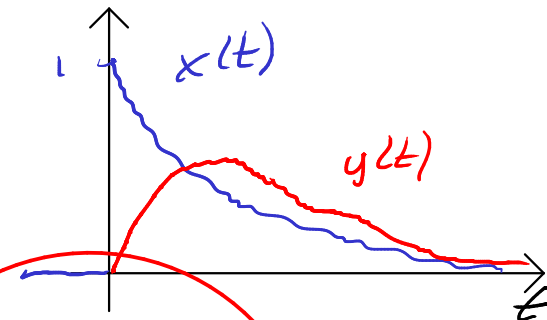
$H(s) = \frac{100}{s+100}$

$h(t) = 100 e^{-100t} u(t)$

$y(t) = (10 e^{-90t} - 10 e^{-100t}) u(t)$

$\frac{B}{\Delta p} = 10$

$E_y \approx 54\% \text{ av } E_x$



**Passiva Filter**

Energifritt KTI-system

$x(t) \rightarrow h(t), H(s), H(\omega) \rightarrow y(t) = y_{res}(t) = (x * h)(t)$   
 $Y(s) = Y_{res}(s) = X(s) \cdot H(s)$

Exempel:  $x(t) = e^t u(t) + 2 e^{-3t} \sin(4t) u(t)$   
 Filteras bort av KTI-systemet

$X(s) = \frac{1}{s+1} + 2 \cdot \frac{4}{(s+3)^2 + 4^2} \Rightarrow Y(s) = X(s) \cdot H(s) =$   
 $= \frac{(s+1)(s+3)}{(s+1)((s+3)^2 + 4^2)} \cdot \frac{(s+3)^2 + 4^2}{(s-p_1)(s-p_2)}$

Konsekvens/krav för stabilitet: Antal poler  $\geq$  Antal nollställen

$\Rightarrow$  Minst 2 poler?  
 $p_1 = p_2 = p$

$K=1$

$H(s)$

- $h(t)$ -termer i  $y(t)$
- placeras långt till vänster i s-planot
- påverkar  $e^{-t}$ -termen

Stabilit  
LTI-system

$x(t) \rightarrow h(t), H(s), H(\omega) \rightarrow y_{ps}(t) = (x * h)(t)$   
 $Y_{ps}(s) = X(s) \cdot H(s)$

Stabilit LTI-system  $\Rightarrow H(\omega) \neq 0$

$\Rightarrow Y_{ps}(\omega) = X(\omega) \cdot H(\omega)$  ;  $H(\omega) = H(s)|_{s=j\omega}$   
 Frekvensselektiv filtrering =  $|H(\omega)| \cdot \arg H(\omega)$

$\Rightarrow \begin{cases} |Y(\omega)| = |X(\omega)| \cdot |H(\omega)| \\ \arg Y(\omega) = \arg X(\omega) + \arg H(\omega) \end{cases}$

Spec fall, stabilt LTI-system med  $x(t) = C + \cos/\sin(\omega_0 t) \Rightarrow$   
 $y(t) = C \cdot H(0) + |H(\omega_0)| \cos/\sin(\omega_0 t + \arg H(\omega_0))$

**FREKVENSSELEKTIVA PASSIVA FILTER**

Exempel, amplitudkar.  $|H(\omega)|$ :

$H_{max}$   
 $\frac{H_{max}}{\sqrt{2}}$   
 $\Rightarrow H_{max} = 1$   
 Amplitudnormerat filter

$\omega_{p1}$   $\omega_{p2}$   
 Passbandet  
 Spännband

- $\omega_{p1}, \omega_{p2}$  = gränsvinkel frekvenser
- Bandbredden  $W = \omega_{p2} - \omega_{p1}$
- $|H(\omega)|_{dB} = 20 \cdot \log |H(\omega)|$

$-3$   
 $|H(\omega)|_{dB}$   
 $[\text{dB}]$

$y_{part}(t)$

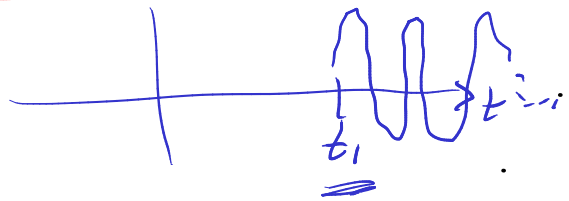
$x(t) = \cos(\omega_0 t) u(t - t_0)$



$y_{ps}(t) = \underbrace{y_{transient}(t)}_{h\text{-termen}} + |H(\omega_0)| \cos(\omega_0 t + \arg H(\omega_0)) u(t - t_1)$

$t_1$  bestäms av  $t_0$  &  $h(t)$

$h(t) \neq 0$  vid  $t=0 \Rightarrow$   
 $h(t < 0) = 0 \quad t_1 = t_0$



1. Hur kan vi få en god förståelse för (en intuitiv tolkning av) hur  $|H(\omega)|$  och  $\arg H(\omega)$  ser ut grafiskt utgående från pol-nollställediagrammet för  $H(s)$ ?

2. Hur kan vi själva placera/välja poler och nollställen hos  $H(s)$  så vi erhåller önskad amplitudkaraktäristik  $|H(\omega)|$  och faskaraktäristik  $\arg H(\omega)$ ?

# $|H(\omega)|$ & $\arg H(\omega)$ från pol-nollställevektorer

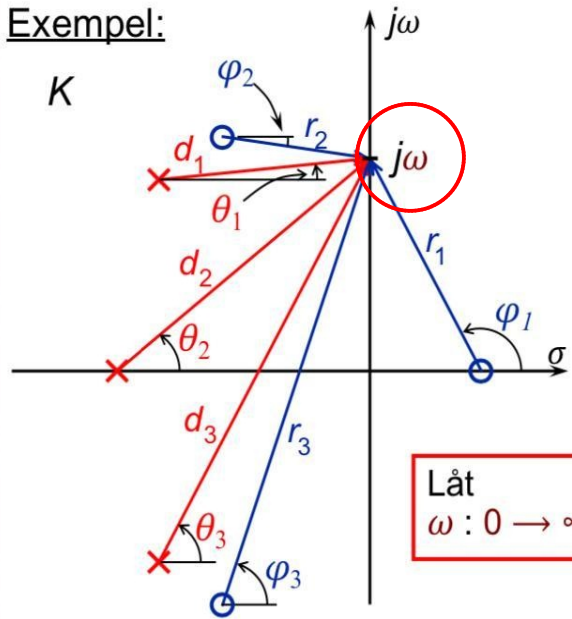
Stabilt LTI-system  
 $\downarrow$   
 $H(\omega) = H(s)|_{s=j\omega} = \left\{ \begin{aligned} &K \cdot \frac{(j\omega - n_1)(j\omega - n_2) \dots (j\omega - n_M)}{(j\omega - p_1)(j\omega - p_2) \dots (j\omega - p_N)} = K \cdot \frac{r_1 e^{j\varphi_1} r_2 e^{j\varphi_2} \dots r_M e^{j\varphi_M}}{d_1 e^{j\theta_1} \cdot d_2 e^{j\theta_2} \dots d_N e^{j\theta_N}} \end{aligned} \right.$

$$|H(\omega)| e^{j \arg H(\omega)}$$

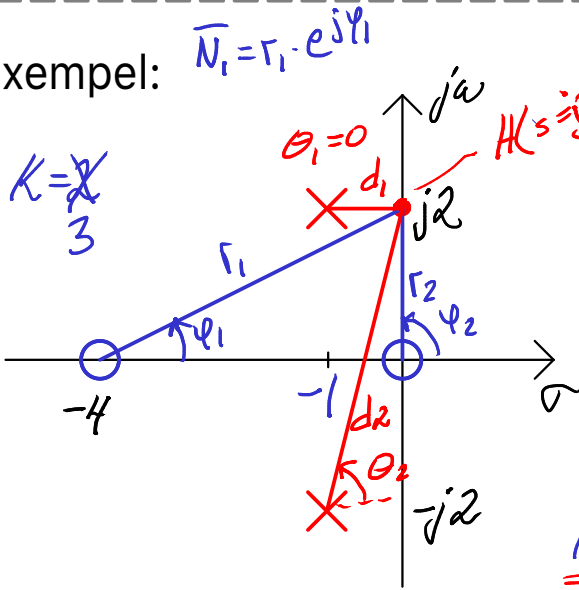
$$|H(\omega)| = |K| \cdot \frac{r_1 \cdot r_2 \cdot \dots \cdot r_M}{d_1 \cdot d_2 \cdot \dots \cdot d_N}$$

$$\arg H(\omega) = \arg K + (\varphi_1 + \varphi_2 + \dots + \varphi_M) - (\theta_1 + \theta_2 + \dots + \theta_N)$$

Exempel:



Exempel:



$$H(s) = 3 \frac{s(s+4)}{(s+1)^2 + 2^2}, \text{Re}\{s\} > -1$$

$$x(t) = \cos(2t)$$

Krav? Stabilt LTI-system

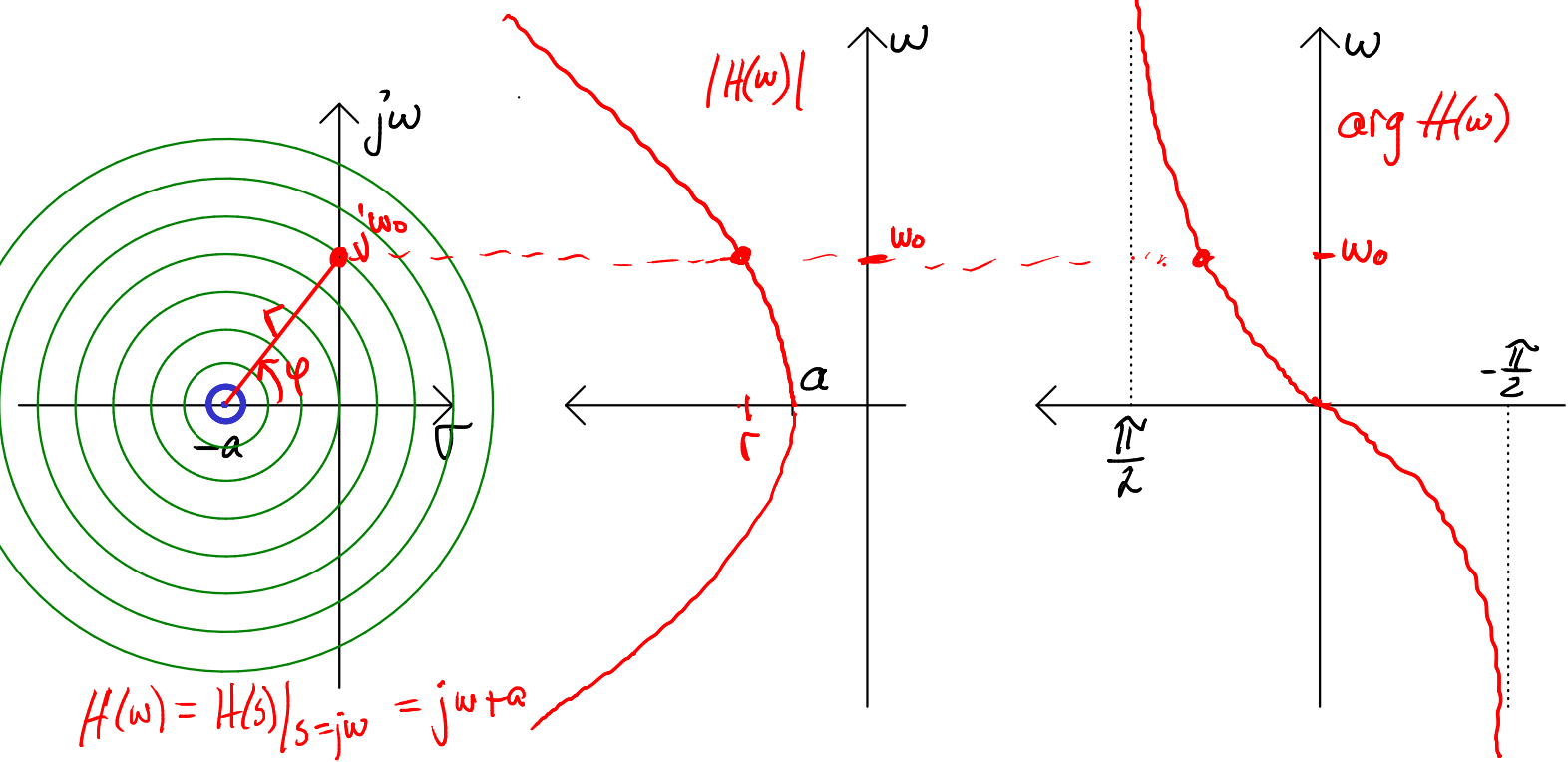
$$y(t) = |H(2)| \cdot \cos(2t + \arg H(2))$$

$$|H(2)| = 3 \cdot \frac{r_1 \cdot r_2}{d_1 \cdot d_2} = 3 \cdot \frac{\sqrt{4+2^2} \cdot 2}{1 \cdot \sqrt{1^2+4^2}} \approx 6,5$$

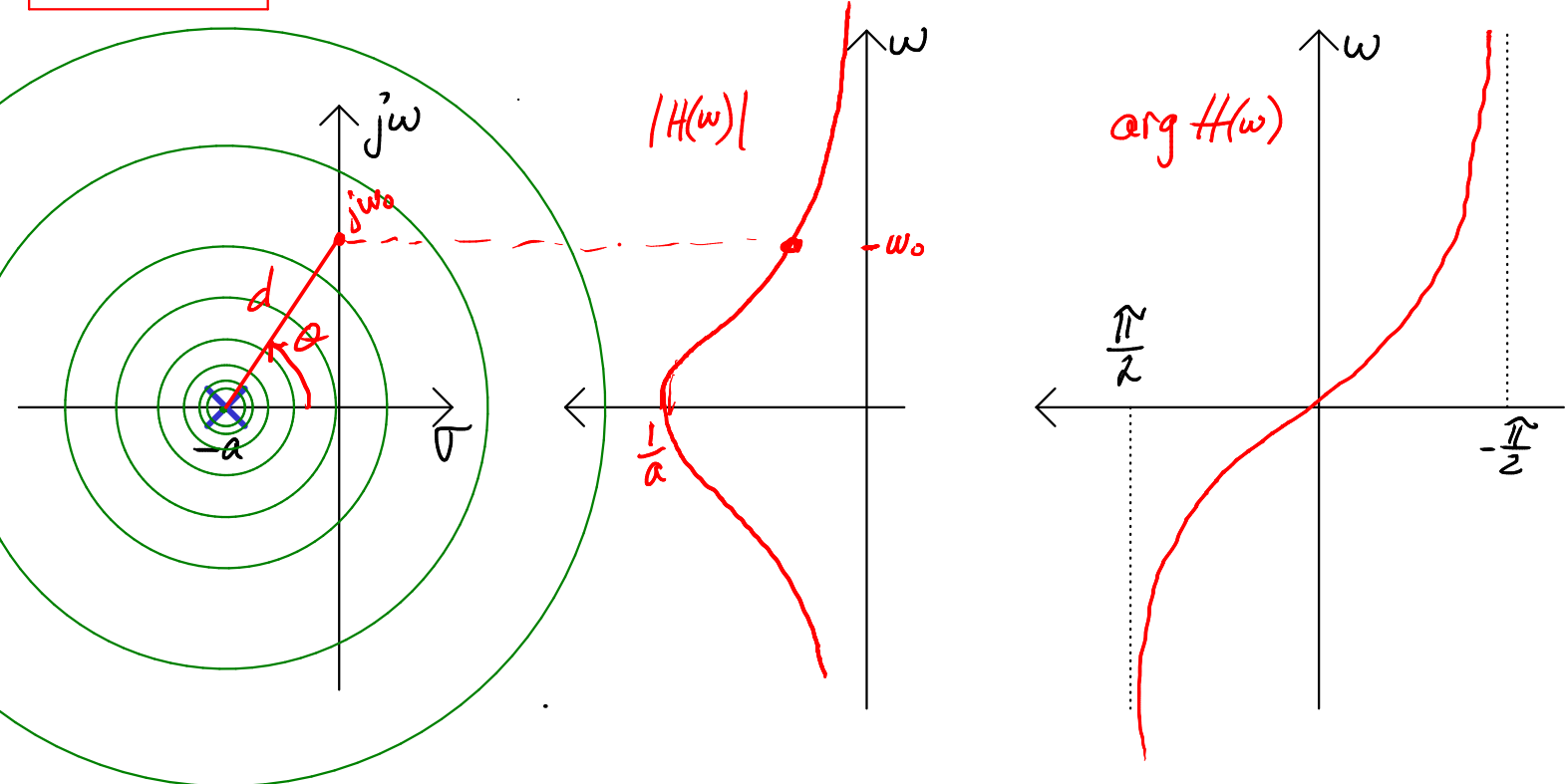
$$\begin{aligned} \arg H(2) &= \arg 3 + \varphi_1 + \varphi_2 - \theta_1 - \theta_2 \\ &= 0 + \arctan \frac{2}{4} + \frac{\pi}{2} - 0 - \arctan \frac{4}{1} \approx 0,71 \text{ rad} \\ &\equiv 0,71 - 2\pi \approx -5,6 \text{ rad} (\approx 321^\circ) \end{aligned}$$

$$y(t) \approx 6,5 \cos(2t + 0,71)$$

$H(s) = s + a$  har nollställe i  $s = -a$ :



$H(s) = \frac{1}{s+a}$  har pol i  $s = -a$ :



( Demo i pzchange i båda fallen ovan! )

Demo i pzchange av tidigare exempel med

$$H(s) = 3 \frac{s(s+4)}{(s+1)^2 + 2^2}, \text{Re}\{s\} > -1$$

Kommentar efter föreläsningen:

Det blev inget demo i pzchange baserat på denna systemfunktion  $H(s)$ . Jag improviserade i stället utgående från exemplen på föregående sida.

**Stabilitet**  
LTI-system

$x(t) \rightarrow h(t), H(s), H(\omega) \rightarrow y_{\text{res}}(t) = (x * h)(t)$   
 $Y_{\text{res}}(s) = X(s) \cdot H(s)$

**FREKVENSSELEKTIVA PASSIVA FILTER**

$x(t) = C + \cos/\sin(\omega t) \xrightarrow{\text{Stabilitet LTI}} y(t) = C \cdot H(0) + |H(\omega)| \cos/\sin(\omega t + \arg H(\omega))$

Olika amplitudnormerade frekvensselektiva filtertyper

**Lågpassfilter (LP-)**  
 Idealt:  $|H(\omega)| = 1$  for  $\omega < \omega_p$ ,  $0$  for  $\omega > \omega_p$   
 Approx-filter (Egenskapskriteriet)

**Högpassfilter (HP-)**  
 Idealt:  $|H(\omega)| = 0$  for  $\omega < \omega_p$ ,  $1$  for  $\omega > \omega_p$   
 Approx-filter

**Bandpassfilter (BP-)**  
 Idealt-filter  
 Approx-filter  
 $\omega_{p1}, \omega_{p2}$

**Bandspärfilter (BS-)**  
 Approx-filter  
 Idealt  
 $\omega_{p1}, \omega_{p2}$

**Allpassfilter (AP-)**  
 $|H(\omega)| = 1$

$H(\omega) = H(s)|_{s=j\omega}$

$H(s)$  in the s-plane with poles (X) at  $s = -1 \pm j2$  and a zero (O) at  $s = -4$ .

VIDEO 3.2